

## 비례이득 적응형 MMSE 검출기의 성능 개선에 관한 연구

유동관\*

## A Study on performance improvement of the Proportional Gain Adaptive MMSE Detector

Dong Kwan Yoo\*

### 요약

본 논문은 다중 사용자 환경의 STBC CDMA 시스템에서 기존의 MMSE 검출 방식이 여러 경로의 수신신호 중에서 가장 전력이 강한 신호만을 사용하므로 상대적으로 검출 능력이 떨어지는 단점이 있어 이를 보완하고자 각각의 다중경로의 수신신호에 비례이득(Proportional Gain)을 여러가지 방법으로 적용시켜 성능을 개선시킨 다음에 이것의 성능을 기존의 MMSE 검출기의 성능과 비교 분석하여 보았다. 개선된 검출방식의 성능분석은 비트 오율 확률분포 관점에서 이루어졌으며 이것을 기존의 MMSE 방식과 비교한 결과 다중경로의 수신 신호에 비례이득을 여러가지 방법으로 적용시켜 성능을 개선시킨 검출 방식이 기존의 방식보다 채널의 지연 값, 사용자 수, 신호 대 잡음비에 대한 비트 오율 확률분포의 성능이 더 향상됨을 알 수 있었다.

### Abstract

In this paper, an improved detection method is proposed by supplementing various types of Proportional gain for a MMSE detector. This method is proposed to complement the shortcomings of the conventional detection method which is used for multiuser detection in STBC(Space-Time Block Code) CDMA system. We analyzed the improved method in bit error probability viewpoint and compared the result with that of the conventional method. In this result, we showed that the improved method obtains better performance of bit error probability than the conventional method when parameters such as delay, number of user and SNR are increased.

▶ Keyword : Proportional Gain , MMSE Detector , Multiuser detection

• 제1저자 : 유동관  
• 접수일 : 2006.01.23, 심사완료일 : 2006.05.17  
\* 동서울 대학 컴퓨터정보과 조교수

## I. 서 론

최근 무선통신 서비스는 기존의 음성 및 일반 텍스트 데이터를 서비스하는 것에서 멀티미디어 데이터와 같은 큰 용량의 데이터를 송수신 할 수 있는 고속의 무선 통신서비스로 전환되고 있다.

이와 같은 데이터의 대용량화 및 고속 데이터 전송 서비스를 지원하는 차세대 무선 통신시스템은 현재 기술로써 제공할 수 있는 것보다 더 큰 용량의 무선자원과 고속의 전송률을 제공해야 될 것이다.

이를 위해 여러 분야의 연구가 진행되고 있으며 그 중에 다중 안테나와 채널 부호화를 사용하여 전송 다이버시티(Diversity) 이득을 높여 무선 이동통신의 페이딩 상황에서 기존의 통신시스템에 비해 더 큰 전송용량을 제공하는 시공간 부호화 (Space-Time Coding) 기법과 무선 이동통신에서 여러 명의 사용자 사이에서 발생하는 간섭을 제거하여 무선 자원의 용량을 증가시켜 성능을 개선시키는 다중사용자 검출 (Multiuser detection) 분야의 연구가 활발히 진행되고 있다.[1,2,9]

시공간 부호화 기술은 여러 개의 송수신 안테나를 이용하여 공간 다이버시티와 부호화 방식을 결합함으로써 무선 이동 통신 환경에서 뛰어난 성능을 구현하는 방법으로 무선 통신 채널에서 다중 경로에 의한 페이딩 영향을 최소화시키기 위해서 송수신 단에서 안테나 배열을 이용하여 송신 측에서 채널 상태에 관한 정보 없이도 송신 다이버시티를 얻을 수 있게 하고 또한 송수신 단의 다중 안테나 사용을 통해 채널 용량을 증가시키는 기술이다.

CDMA 시스템의 다중접속 간섭 제거에 관한 연구는 종래 방식인 IS-95 시스템이 다중접속 간섭의 영향을 줄이기 위해 모든 사용자의 신호 전력 레벨을 동일하게 제어하는 전력제어 방식을 사용하였으나 이러한 전력제어만으로는 근본적인 확산부호열 간의 상호干관 값에 의해 발생하는 간섭을 제거하는 것이 불가능하고 단지 그 영향을 최소화 할 수 밖에 없으므로 최근에는 이러한 다중접속 간섭의 영향을 줄이기 위해 적용간섭 제거와 적응배열 안테나를 사용하는 방식에 관한 연구가 활발히 이루어지고 있다.[7,8,10]

이와 같은 다중접속 간섭 제거에 관한 적응배열 안테나

를 사용하는 방법이나 감산기반의 간섭 제거기는 순방향 링크의 경우에는 시스템의 복잡도에 큰 영향을 받기 때문에 그대로 적용하는 것이 곤란하므로 순방향 링크의 경우 원하는 신호에 대한 정보만을 이용하면서 간단히 간섭을 제거할 수 있는 새로운 구조가 필요한데 이러한 조건을 만족시키기 위해 등장한 대표적인 것이 MMSE (Minimum Mean Square Error) 검출기이다.

일반적으로 순방향 링크에서는 모든 사용자 신호가 동기 모드로 전송되고, 사용자 구분 확산부호로는 각 부호열 상호간에 직교성을 가지는 월쉬 부호열을 사용하므로 이론상으로는 각 사용자 신호는 부호열 간의 직교성으로 인해서 동일 셀 내에서는 간섭이 존재하지 않게 된다. 하지만 CDMA 통신 시스템과 같이 전송 신호의 대역이 넓은 경우에는 전송 채널의 물리적인 영향에 의해 전송신호는 다중경로로 성분으로 수신되며 되므로 각 경로의 신호는 서로 직교성을 잃게 되고 따라서 간섭이 발생하게 되며 성능 제약의 중요한 요인이 된다.

본 논문은 다중사용자 환경의 STBC CDMA 시스템에서 고속의 데이터 전송을 가능하게 하고 무선자원의 용량을 증가시키기 위한 검출기법의 연구로 시공간 다이버시티 이득을 높이고 다중접속 간섭도 제거시키며 각각의 다중경로의 수신신호에 각 경로의 특성에 따른 비레이득(Proportional Gain)을 여러 가지 방법으로 적용하므로 성능을 개선시킨 MMSE 검출기를 제안한다.

제안된 검출 방식은 여러 경로의 수신 신호 중에서 가장 전력이 강한 신호만을 사용하는 기존의 MMSE 검출 방식과 달리 각 경로에 대한 수신신호에 기중치 벡터  $w_l$ 을 이용하여 다중접속 간섭을 제거한 다음에 각 경로의 특성에 따른 비레이득을 여러 가지 방법으로 적용시키고 이러한 모든 경로에 대한 검출신호를 전부 결합하여 그것의 실수부를 취해서 최종 검출값을 결정하는 방식으로 동작한다.

제안된 검출기의 성능 분석은 비트 오율 확률 분포(Probability of Error)를 이용하여 이루어졌으며 기존의 MMSE 방식과 비교한 결과 제안한 검출기가 기존 방식보다 성능이 향상됨을 확인할 수 있었다.

## II. 관련 연구

### 2.1 시공간 블록 부호

무선 채널은 전달 매질을 통해 다중 경로로 전파되므로 이로 인한 신호 간섭과 다른 사용자들의 간섭 등이 통신 환경을 열악하게 만든다.

이러한 열악한 통신 환경의 무선 채널 특성을 극복하기 위해서 수신단에 다이버시티 기법을 사용하는데, 여기에는 시간 다이버시티 (Temporal Diversity) 기법, 주파수 다이버시티 (Frequency Diversity) 기법, 공간 다이버시티 (Antenna Diversity) 기법 등이 있다.

최근에 다중 안테나와 채널 부호화를 사용하여 전송 다이버시티 (Diversity) 이득을 높여서 무선 이동 통신의 폐 이딩 상황에서 기존의 통신 시스템에 비해 더 높은 전송 용량을 제공하는 시공간 부호화 (Space-Time Coding) 기법이 등장하였다.[3,6]

시공간 블록 부호 (Space-Time Block Coding)는 Alamouti에 의해 최초로 2X2 복소 직교설계 (Complex Orthogonal Design)를 이용한 송신 다이버시티가 소개되었고, Tarokh에 의해 이를 일반화한 직교 설계이론 (Orthogonal Design Theory)에 따른 직교성을 갖는 부호에 행렬의 시공간 블록 부호가 제안되었다.

시공간 블록 부호는 상대적으로 부호화 이득은 작지만, 최대 다이버시티 차수를 가지면서 수신기에서 선형처리만으로 최대 우도 (Maximum Likelihood) 복호를 가능하게 하기 때문에, 수신기의 복잡도가 송신 안테나의 개수에 따라 선형적으로 증가하여 수신기의 구조를 간단하게 하는 장점을 가진다.

그림 1은 시공간 블록 부호화 (Space-Time Block Code) 시스템의 구성도로 그림에서 보듯이 송신단은 채널 부호화기(Coder), 변조 심벌(Modulation-Symbol) Mapper, Block Mapper, 수신단은 Block De-Mapper, 변조 심벌 (Modulation-Symbol) De-Mapper, 복호기 (De-Coder) 등으로 구성되어 있다. 이 시공간 블록 부호화 시스템의 기본 동작은 먼저 데이터가 채널 부호화기 (Coder)로 입력되고

채널 부호화기 (Coder)의 출력 값은 변조 심벌 (Modulation Symbol) Mapper에 의해서 심벌을 비트로 바꾼다. 그 다음 단계로 직교 심벌을 위한 Block Mapper를 통과시킴으로 해서 원하는 STBC(Space-Time Block Code) 신호를 만들 수 있다. 이렇게 만들어진 STBC 신호는 각각의 안테나를 통해 동시에 전송되게 된다.

수신단의 처리는 송신단에서의 진행 과정과 반대로 Block De-Mapper와 변조 심벌 (Modulation Symbol) De-Mapper를 통과한 후에 복호기(De-Coder)를 통해 원래 신호로 복호된다.

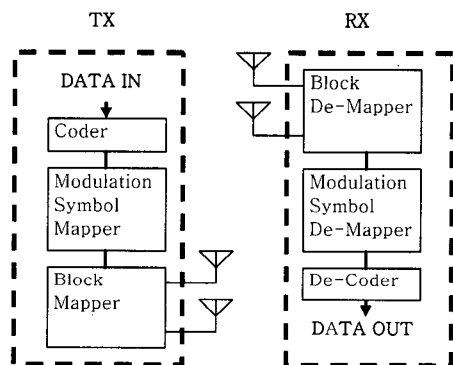


그림 1. 시공간 블록 부호화 시스템  
Fig. 1 Space-Time Block Code System

### 2.2 MMSE 다중 사용자 검출기

최근 CDMA 시스템에서는 다중 접속 간섭(Multiple Access Interference)의 제거에 관한 연구 및 여러 명의 사용자 사이에서 발생하는 간섭을 제거하여 무선 자원의 용량을 증가시켜서 성능을 개선시키는 다중 사용자 검출(Multiuser detection)에 관한 연구가 활발히 진행되고 있다.

기존의 IS-95 시스템에서는 다중 접속 간섭의 영향을 줄이기 위해 모든 사용자 신호의 전력 레벨을 동일하게 제어하는 전력 제어 방식 (Power Control)을 사용하고 있지만 이러한 전력 제어만으로는 근본적인 확산 부호 열 (Spreading Sequence) 간의 상호 상관 값 (Cross Correlation)에 의해 발생하는 간섭의 제거는 불가능하고 단지 그 영향을 최소화할 뿐이다. 또한 감산기반 간섭제거 방식은 순방향 링크 (Forward Link)의 경우 시스템의 복잡도에 큰 영향을 주기 때문에 그대로 적용하기 어려운 문제를 갖고 있다. 따라서 순방향 링크의 경우 원하는 신호에 대한 정보만을 이용하면서 간단히 간섭을 제거할 수 있는 새로운 구조가 필요한데 이러한 조건을 만족시키기 위해서 등장한 방식이

MMSE 검출기이다. 아래 그림2는 DS-CDMA 시스템의 MMSE 검출기 모델을 나타낸 것이다.

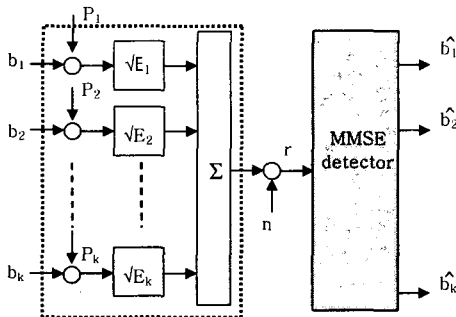


그림 2. MMSE 검출기모델  
Fig. 2 Model of MMSE Detector

위 그림2에서 MMSE 검출기로 입력되는 수신 신호  $r$ 은 데이터 심벌  $b$ , 데이터 심벌을 전송하기 위한 확산 심벌 열  $P$ , 데이터 심벌에 해당하는 수신 신호 전력  $E$ , 잡음  $n$ 의 항을 통해 표현되는데 이것을 행렬과 벡터로 나타낸 것이 식(1)이다. 여기서 식(1)에 사용된 데이터 심벌  $b$ , 확산 심벌 열  $P$ , 수신신호 전력  $E$ 는 각각  $b = (b_1 \ b_2 \ \dots \ b_K)^T$ ,  $P = [P_1 \ P_2 \ \dots \ P_K]$ ,  $E = \text{diag}(E_1 \ E_2 \ \dots \ E_K)$ 로 쓸 수 있다.

$$r = P * \sqrt{E} * b + n \quad \dots \dots \dots (1)$$

MMSE 검출기는 수신단에서 수신 신호와 원하는 신호 간의 MSE (Mean Square Error)를 최소화하도록 필터 계수를 조절하는 검출기로 만약  $k$ 번째 사용자의 데이터 심벌  $b_K$ 를 검출하는 경우라면 MMSE 검출기는 수신신호  $r$ 로부터 검출 출력을  $\hat{b}_K = \text{sgn}(\text{CHK } r)$ 로 출력해야되며 이때 검출 출력  $\hat{b}_K$ 를 위한 필터 계수  $CK$ 는  $CK = \arg \min [C_j] E\{| | b_K - CH_j r | |^2\}$ 로 구해지고 이것은 Weiner-Hopf 이론에 의해 다음 식 (2)와 같이 나타낼 수 있다.[4,5]

$$CK = E\{r r^H\}^{-1} E\{r b_K^*\} \quad \dots \dots \dots (2)$$

### III. 개선된 MMSE 검출기

이 장에서는 STBC CDMA 시스템에서 시공간 다이버시티 이득도 얻고 다중 간섭도 제거시키며 각각의 다중경로의 수신신호에 각 경로의 특성에 따른 비례이득 (Proportional Gain)을 여러가지 방법으로 적용하여 성능을 개선시킨 MMSE 검출기를 제안한다.

본 연구의 시스템 모델은 동기식 BPSK DS-CDMA 시스템의 하향 링크를 고려한 것으로 기지국에 2개의 안테나, 단말에 1개의 안테나를 가정하고 시공간 부호화 기법으로는 Alamouti가 제안한 STBC를 적용하며 데이터 전송은  $(2i-1)$ 번째 심벌구간 동안은  $b_{(2i-1)}$ 과  $b_{(2i)}$ 를 전송 안테나 TX1과 TX2를 통해 동시에 전송하고 그 다음 심벌구간 동안에  $-b_{(2i)}^*$ 과  $b_{(2i-1)}^*$ 를 전송하는 것으로 한다.

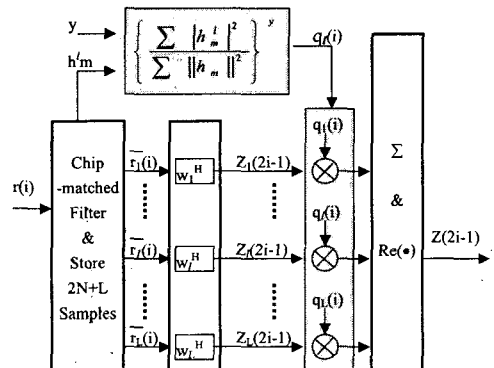


그림 3. 개선된 검출기 구조  
Fig. 3 Improved MMSE Detector

그리고 채널 모델은 주파수 선택적이고 충분히 긴 시간 동안 채널 상태가 일정하고 다음 순간에 독립적으로 변하는 유사정적 채널로 하고 채널의 지연값은 최대  $L$  칩 시간으로 하며  $L$ 은 한 심벌에 포함되는 칩의 수  $N$ 보다 작다고 가정한다.

앞의 그림 3은 본 연구에서 제안한 검출기의 구조로 칩 상관필터와  $2N+L$  칩 샘플 저장부, 가중치 벡터  $w_l$ 을 이용한 다중간섭 필터부, 비례이득 적용계수  $y$ 에 따른 비례이득

적용부, 콤바이너와 최종 값 결정부 등의 4개의 부분으로 구성된다.

그림 3의 제안된 검출기의 처리과정은 다음과 같다. 먼저 수신신호  $r(i)$ 는 칩 상관 필터와  $2N+L$  샘플 저장부를 거쳐서  $k$ 번째 사용자의  $i$ 번째 데이터에 대한 1번재 다중경로로 동기화된 연속 두개 심벌구간 동안의 표본화 벡터  $r_l(2i)$ 와  $r_l(2i-1)$ 를 하나로 표시한  $\bar{r}_l(i)$ 가 되며 이것은 제안한 검출기가 수신 신호 중에서 첫 번째 사용자에 대한 신호검출을 원하는 것으로 가정하는 경우에 다음 식(3)과 같이 나타낼 수 있다.

식(3)은 아래와 같이 네 개의 항으로 표현되는데 여기서 첫 번째 항은 검출하고자 하는 사용자신호에 대한 것이고 두 번째 항은 검출하고자 하는 사용자신호의 심벌간 간섭이며 세 번째 항은 다중사용자 간섭 그리고 마지막 네 번째 항은 잡음을 표현하는 것이다.

식(3)의 표현에서 사용되는  $i$ 는  $i$ 번째 수신 데이터를 뜻하며,  $j$ 는 수신 신호 전후의 간섭 위치를,  $k$ 는 다중 사용자 중의  $k$ 번째 사용자를, 1은 1번재 다중 경로를 의미한다.

$$\begin{aligned} \bar{r}_l(i) &\equiv [r_l(2i) r_l(2i-1)*]^T \\ &= g_{l,-1}^T b_l(2i-1) + \sum_{j=-3, j \neq -1}^2 g_{l,j}^T b_l(2i+j) \\ &\quad + \sum_{k=2}^K \sum_{j=-3}^2 g_{k,j}^T b_k(2i+j) + \hat{n}_l(i) \end{aligned} \quad (3)$$

한편 위의 식(3)에서  $g_{k,j}^T$ 는 다음의 식(4)와 같이 정의되며 이때 유효 확산 부호  $s_{k,m}^{l,j}$ 는  $s_{k,m}^{l,n} \equiv P_{k,l} h_m$ 으로 정의되고  $P_{k,l}^j$ 는 확산 심벌열,  $m$ 은 안테나 번호이다.

$$\begin{aligned} g_{k,-3}^T &\equiv \begin{bmatrix} 0_{NX1} \\ (s_{k,1}^{l,0})^* \end{bmatrix}; & g_{k,-2}^T &\equiv \begin{bmatrix} 0_{NX1} \\ (s_{k,2}^{l,0})^* \end{bmatrix}; \\ g_{k,-1}^T &\equiv \begin{bmatrix} s_{k,1}^{l,1} + s_{k,2}^{l,0} \\ (s_{k,1}^{l,2} + s_{k,2}^{l,1})^* \end{bmatrix}; & g_{k,0}^T &\equiv \begin{bmatrix} -s_{k,1}^{l,0} + s_{k,2}^{l,1} \\ (-s_{k,1}^{l,1} + s_{k,2}^{l,2})^* \end{bmatrix}; \\ g_{k,1}^T &\equiv \begin{bmatrix} s_{k,2}^{l,2} \\ 0_{NX1} \end{bmatrix}; & g_{k,2}^T &\equiv \begin{bmatrix} -s_{k,1}^{l,2} \\ 0_{NX1} \end{bmatrix}; \end{aligned} \quad (4)$$

검출의 다음 과정은 그림3에서 보듯이 1번재 경로에 대한 본래의 신호 값인  $b_1(2i-1)$ 을 검출하기 위해 식(3)으로 표시되는 첫 번째 사용자의  $i$ 번째 데이터에 대한 1번재 경로의 수신신호  $\bar{r}_l(i)$ 에서 가중치 벡터  $w_l$ 를 이용하여 다중 간섭을 제거한다. 여기서 가중치 벡터  $w_l$ 은 MSE (Mean Square Error)를 최소로 하는 조건을 만족해야 하며 이것은 Weiner-Hopf 이론에 의해 다음 식(5)와 같이 구해진다.

$$\begin{aligned} w_l &\equiv \arg \min_{w \in \mathbb{C}^{2NX1}} E[b_1(2i-1) - w^H \bar{r}_l(i)]^2 \\ w_l &= E[\bar{r}_l(i) \bar{r}_l^H(i)]^{-1} E[\bar{r}_l(i) b_1(2i-1)] \end{aligned} \quad (5)$$

식 (5)의 가중치벡터  $w_l$  값을 이용하여 다중 간섭을 제거시킨 경로 1의 수신신호에 대한 필터부 출력신호  $z_l(2i-1)$ 은 다음 식(6)과 같이 표현된다.

$$\begin{aligned} z_l(2i-1) &= w_l^H \bar{r}_l(i) \\ &= v_{-1}^T b_1(2i-1) + \sum_{j=-3, j \neq -1}^2 v_j^T b_1(2i+j) + \tilde{n}_l(i) \end{aligned} \quad (6)$$

여기서  $v_j^T \equiv w_l^H g_{l,j}^T$ ,  $\tilde{n}_l(i) \equiv w_l^H \tilde{r}_l(i)$  이다

마지막 처리 단계로 최종 검출 값을 구하는 과정은 식(6)에서 구한 값인 경로 1에 대한 필터출력  $z_l(2i-1)$ 에 그림3에서 보여지듯이 각각의 경로에 대한 비레이득  $q_l(i)$ 을 비레이득 적용계수  $y$ 에 따라 적용하고 이를 필터 출력의 모든 경로의 값을 결합하여 실수부를 취해 구하게 되는데 이것은 다음의 식(7)과 같이 나타낼 수 있다.

$$\begin{aligned} z(2i-1) &= \operatorname{Re} \left[ \sum_{l=1}^L q_l(i) z_l(2i-1) \right] \\ &= \operatorname{Re} \left[ \sum_{l=1}^L q_l(i) w_l^H \bar{r}_l(i) \right] \end{aligned} \quad (7)$$

이때 적용이득  $q_l(i)$ 는 다중경로별 채널의 상태에 비례하는 이득 값을 비레이득 적용계수  $y$ 에 따라 적용한

$$q_I = \left\{ \sum_{m=1}^2 |h_m^I|^2 / \sum_{m=1}^2 \|h_m\|^2 \right\}^y 을 사용한다.$$

아래의 그림 4는 앞의 처리과정을 흐름도로 나타낸 것이다.

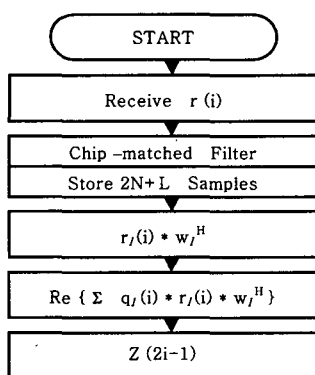


그림 4. 개선된 검출기의 흐름도  
Fig. 4 Flowchart of Improved Detector

다음은 제안한 검출방식의 성능 비교를 위해서 먼저  $b_1(2i-1) = 1$ 과  $s = \{bT hT\}T$ 를 조건부로 하는 식(7)의 최종 검출값에 대한 조건부평균  $A$ 와 분산  $\sigma^2$ 을 구한 다음에 데이터  $b_1(2i-1)$ 이 1로 전송될 때 이것을 -1로 판별할 경우의 비트오율 확률분포를 구한다.

$s = \{bT hT\}T$  와  $b_1(2i-1)=1$ 을 조건부로 하는 식 (7)의 최종 검출 값인  $z(2i-1)$ 의 조건부 평균  $A$ 와 분산  $\sigma^2$ 을 구하면 다음 식(8), (9)와 같다.

$$\begin{aligned} A &= \text{Re}\{z(2i-1) | s, b_1(2i-1)=1\} \\ &= \text{Re}\left[\sum_{l=1}^L \left\{ q_l v_{-1}^l + \sum_{j=-3, j \neq -1}^2 q_j v_j^l b_1(2i+j) \right\}\right] \quad \dots (8) \end{aligned}$$

$$\begin{aligned} \sigma^2 &= \text{var}[z(2i-1) | s, b_1(2i-1)=1]/2 \\ &= \left[ \sum_{l=1}^L q_l^2 \sigma_l^2 + \sum_{l=1}^L \sum_{j=1, j \neq l}^L q_l q_j w_l^H \tilde{R}_{lj} w_j \right] / 2 \quad \dots (9) \end{aligned}$$

최종 검출값의 조건부 평균과 분산인 위의 식(8)과 (9)로부터 데이터  $b_1(2i-1)$ 이 1로 전송될 때 이것을 -1로 판별할 경우의 비트오율 확률분포는  $\text{SNR}=(A^2/\sigma^2)$ 이므로 다음 식(10)과 같이 쓸 수 있다.

$$P_{e|s} = Q\left(\sqrt{\text{SNR}}\right) = Q\left(\sqrt{A^2/\sigma^2}\right) = Q(A/\sigma) \quad \dots (10)$$

위 식(10)에서 사용된 조건 상태  $s$ 는  $s=\{bT hT\}T$ 로 데이터 벡터  $b$ 와 페이딩 채널 계수  $h$ 로 구성되는데 여기서  $b$ 는  $b_1(2i-1)$ 에 심벌 간 간섭을 야기하는 데이터 벡터로  $b=[b_1(2i-3) \ b_1(2i-2) \ b_1(2i-1) \ b_1(2i) \ b_1(2i+1) \ b_1(2i+2)]T$ 를 의미하므로 위의 식 (10)을 모든 가능한  $b$ 에 대한 조건부 확률의 평균을 취하면 식(10)은 페이딩 채널계수  $h$ 만을 조건부로 사용하는 다음 식(11)과 같이 쓸 수 있다.

$$\begin{aligned} P_{eh} &= \frac{1}{2^5} \sum_{all \ b \in X} Q\left(\frac{A}{\sigma}\right) \\ &= \frac{1}{2^5} \sum_{all \ b \in X} Q\left(\frac{\text{Re}\left[\sum_{l=1}^L \left\{ q_l v_{-1}^l + \sum_{j=-3, j \neq -1}^2 q_j v_j^l b_1(2i+j) \right\}\right]}{\sqrt{\left[ \sum_{l=1}^L q_l^2 \sigma_l^2 + \sum_{l=1}^L \sum_{j=1, j \neq l}^L q_l q_j w_l^H \tilde{R}_{lj} w_j \right] / 2}}\right]} \quad \dots (11) \end{aligned}$$

식(11)에서 최종적인 비트오율 확률분포  $P(E)$ 는 페이딩 채널계수에 대해 평균을 취해야 하는데 이것은 평균을 구하는 것이 어렵기 때문에 몬테카를로 적분을 105번 수행하여 근사적으로 구한다. 이와 같이 본 논문에서 제안한 비례이득 적용계수  $y$ 에 따른 비례이득 적응형 검출 방식의 비트오율 확률분포 값  $P(E)$ 를 구한 다음 이것을 기존 방식의 값과 비교하여 성능을 분석한다.

#### IV. 비교 및 분석

본 장에서는 다중사용자 환경의 STBC CDMA 시스템에서의 기존 MMSE 검출방식과 본 논문에서 제안한 검출방

식을 비트 오율 확률분포  $P(E)$ 의 관점에서 비교 분석한다.

성능 비교는 채널의 지연 값  $L$ , 사용자 수  $K$ , 신호 대 잡음비 SNR에 대한 비트 오율 확률분포 값  $P(E)$ 의 그래프를 통해 나타낸다.

본 논문에서 제안한 검출 방식은 수신 신호의 각 경로의 특성에 따른 비례이득(Proportional Gain)을 비례이득 적용계수  $y$  값이  $y=1$ ,  $y=2$ ,  $y=3$ 인 3가지 경우에 대해 세분하여 성능을 비교 분석한다.

그래프 상의 표기는 기존의 검출방식은 MMSE라는 표기를 사용하고 본 논문에서 제안한 검출 방식은 비례이득(Proportional Gain) 적용 계수값에 따라  $y=1$ 일 때는 PG1\_MMSE,  $y=2$ 일 때는 PG2\_MMSE,  $y=3$ 일 때는 PG3\_MMSE라는 표기를 사용하여 나타내도록 한다.

다음 그림 5는 채널의 지연 값  $L=30$ , 신호 대 잡음비  $SNR=15$ 인 경우 사용자 수  $K$  값이  $K=10$ ,  $K=15$ ,  $K=20$ ,  $K=25$ ,  $K=30$ 일 때 비트 오율 확률분포 값  $P(E)$ 를 그래프로 보여준 것이다.

그림에서 보듯이 제안한 방식들이 기존 방식보다 사용자 수  $K$ 값에 무관하게 양호한 성능을 나타내며 제안한 검출 방식의 경우에는 비례이득 적용계수  $y$ 값이 커질수록 즉 PG1\_MMSE 검출방식보다 PG3\_MMSE 검출방식이 더 좋은 성능을 보여줄을 알 수 있다.

또한 각각의 검출방식의 비트오율 확률분포 값  $P(E)$ 가 사용자 수  $K$ 값이 커질수록 나빠지는 것을 알 수 있는데 이 것은 사용자가 많으면 많을수록 서로간의 간섭이 더 많이 발생하는 것을 보여준다.

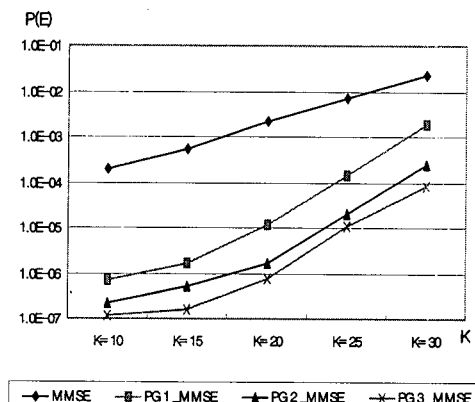


그림 5.  $L=30$ ,  $SNR=15$ 일 때의 비교  
Fig. 5 Comparison in  $L=30$ ,  $SNR=15$

그림 6은 채널의 지연 값  $L=30$ , 사용자 수  $K=20$ 인 상태에서 신호 대 잡음비 SNR 값을  $SNR=6$ ,  $SNR=9$ ,  $SNR=12$ ,  $SNR=15$ 로 할 경우의 제안한 검출 방식들인 PG1\_MMSE, PG2\_MMSE, PG3\_MMSE와 기존 검출방식에 대한 비트 오율 확률분포 값  $P(E)$ 의 비교이다.

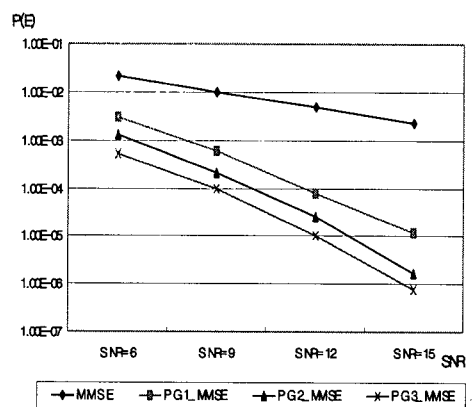


그림 6.  $L=30$ ,  $K=20$ 일 때의 비교  
Fig. 6 Comparison in  $L=30$ ,  $K=20$

그림에서 보듯이 본 논문에서 제안한 검출방식들이 기존의 MMSE 검출방식과 비교했을 때 모든 SNR 값에 대해 성능이 향상됨을 알 수 있으며 제안한 방식들 중에서는 비례이득 적용계수 값  $y$ 가 가장 큰 경우인  $y=3$ 의 PG3\_MMSE 검출방식이 가장 좋은 성능을 보여줄을 알 수 있다.

한편 SNR 값이 적을 때보다 큰 경우 비트 오율 확률분포 값  $P(E)$ 가 작아지는 것을 알 수 있는데 이것은 신호 대 잡음비가 높은 경우 일수록 신호의 성분이 잡음에 비해 큰 상태이므로 비트 오율이 작아진다는 것을 보여준다.

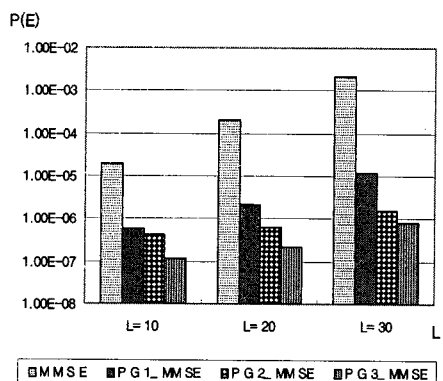


그림 7.  $K=20$ ,  $SNR=15$ 일 때의 특성곡선  
Fig. 7 Curve in  $K=20$ ,  $SNR=15$

그림 7은 사용자 수  $K=20$ , 신호 대 잡음비  $SNR=15$ 인 상태에서 채널의 지연 값  $L$ 이 10에서 30으로 변화할 때의 비트 오율 확률 분포 특성을 보여준 것이다.

그림에서 보듯이 기존의 검출 방식보다 제안된 검출 방식인 PG1\_MMSE, PG2\_MMSE, PG3\_MMSE의 비트 오율 확률분포  $P(E)$ 의 값이 채널의 지연 값  $L$ 에 무관하게 양호한 성능을 나타내며 특히 제안한 검출 방식의 경우에는 비례이득 적용계수  $y$ 값이 커질수록 더 좋은 성능을 보여줄 수 있다.

## V. 결 론

본 논문에서는 STBC CDMA 시스템의 다중사용자 환경에서 기존의 MMSE 검출방식이 상대적으로 성능이 떨어지는 단점이 있어 이를 보완하고자 각각의 다중경로의 수신신호에 각 경로의 특성에 따른 비례이득 (Proportional Gain)을 여러가지 방법으로 적용하여 성능을 개선시킨 MMSE 검출기를 제안하여 이를 기존의 방식과 성능을 비교 분석하였다.

본 연구의 시스템 모델은 동기식 BPSK DS-CDMA 시스템의 하향 링크를 그리고 채널 모델은 주파수 선택적이고 충분히 긴 시간 동안 채널 상태가 일정하고 다음 순간에 독립적으로 변하는 유사정적 채널로 하였으며 성능비교는 채널의 지연 값  $L$ , 사용자 수  $K$ , 신호대 잡음비  $SNR$ 에 대한 비트 오율 확률분포 값  $P(E)$ 의 그래프를 통해 살펴보았다.

성능분석 결과 제안한 검출 방식이 기존의 방식보다  $L$ 값,  $K$ 값,  $SNR$  값의 변화에 따른 모든 경우에서 성능향상을 가져옴을 알 수 있었으며 특히 제안한 검출방식의 경우에는 비례이득 적용 계수  $y$ 값이 커질수록 즉 PG3\_MMSE 검출방식이 PG2\_MMSE 검출방식이나 PG1\_MMSE 검출방식보다 더 좋은 성능을 보여줄 수 있다. 또한 각각의 검출방식의 비트오율 확률분포 값  $P(E)$ 는 사용자 수  $K$  값이 커질수록 나빠지는 것을 알 수 있는데 이것은 사용자가 많으면 많을수록 서로간의 간섭이 더 많이 발생하는 것을 보여주는 것이며 그밖에 신호대 잡음비  $SNR$  값이 적을 때보다 큰 경우 비트 오율 확률분포 값  $P(E)$ 가 작아지는 것을 볼 수 있는데 이것은 신호 대 잡음비 값이 큰 경우일수록 신호의 성분이 잡음에 의해 큰 상태이므로 비트 오율 확률분포 값  $P(E)$ 도

작아진다는 것을 알 수 있다.

결론적으로 제안된 검출기는 칩 상관필터와  $2N+L$  칩 샘플저장부, 가중치 벡터  $w_l$ 을 이용한 다중간섭 필터부, 비례이득 적용 계수  $y$ 에 따른 비례이득 적용부, 콤바이너와 최종 값 결정부 등으로 구성되어 각 경로에 대한 수신 신호에 가중치 벡터  $w_l$ 을 이용하여 다중간섭을 제거한 다음 각 경로의 특성에 따른 비례이득을 비례이득 적용 계수  $y$ 값에 따라 적용시키고 이러한 모든 경로에 대한 검출신호들의 합의 실수부를 취해서 최종 검출값을 결정하는 방식으로 시공간 다이버시티 이득도 얻고 다중간섭도 제거시키며 추가로 비례이득을 여러가지 형태로 적용하여 성능을 향상시킨 것이다.

본 논문에서 제안한 방식은 좋은 품질의 고속 서비스를 요구하는 최근의 무선 이동통신 환경에서 기존의 MMSE 방식에 비해 구조적으로는 조금 복잡할 수 있으나 성능 면에서는  $L$ 값,  $K$ 값,  $SNR$ 값과 무관하게 모든 경우에 대해 비트 오율 확률분포  $P(E)$ 의 성능을 개선시킴을 알 수 있었다.

## 참고문헌

- [1] H. Huang and H. Viswanathan, "Multiple antennas and multiuser detection in high data rate CDMA systems", in Proc. 2000 IEEE Vehicular Technology Conference(VTC2000), Tokyo, Japan, 2000
- [2] S. Moshavi, Bellcore, "Multiuser Detection for DS-CDMA Communications", IEEE Communications Magazine, pp. 124~136, Oct. 1996
- [3] Hong bin Li, Xuguang Lu, and Georgios B. Giannakis, "Capon Multiuser Receiver for CDMA Systems with Space-Time Coding", IEEE Trans. Signal Proc., Vol. 50, No. 5, pp. 1193~1204, May 2002
- [4] H. V. Poor and S. Verdú, "Probability of error in MMSE multiuser detection", IEEE Trans. Com., Vol. 43, pp. 858~872, May 1997
- [5] M. Latva-aho, M. Juntti, "Modified Adaptive LMMSE Receiver for DS-CDMA Systems in

- Fading Channels", Proc. of VTC97, pp. 554~558, 1997
- [6] U. Madhow and M. L. Honig, "MMSE interference suppression for direct sequence spread-spectrum CDMA", IEEE Trans. Commun., vol. 42, no. 12, pp. 3178~3188, Dec. 1994
- [7] Matti Latva-aho and Markku J. Juntti, "LMMSE Detection for DS-CDMA systems in fading channels", IEEE Trans. Com., Vol.48, No.2, Feb. 2000
- [8] S. L. Miller, M. L. Honig, and L. B. Milstein, "Performance Analysis of MMSE Receivers for DS-CDMA in Frequency- Selective Fading Channels", IEEE Trans. Com., Vol.48, No.11, pp. 1919~1929, Nov. 2000
- [9] 정남모, 박진수, "나카가미-m 페이딩을 고려한 DS-CDMA 시스템의 PN 부호 획득에 관한 연구", 한국 컴퓨터정보학회 논문지, 제6권, 제3호, pp. 78~83, 2001.
- [10] 김성곤, 김영민, "시공간 빔 형성 기술을 이용한 DS-CDMA 시스템의 성능분석", 한국 컴퓨터정보 학회 논문지, 제9권, 제2호, pp. 97~104, 2004.

### 저자 소개



#### 유동관

1987년 인하대학교 전자과 공학사  
 1989년 인하대학교 전자과 공학석사  
 1989~1998 LG정보통신  
 중앙연구소 선임연구원  
 1998~현재 동서울대학  
 컴퓨터정보과 조교수